

Vorlesung Algorithmische Geometrie

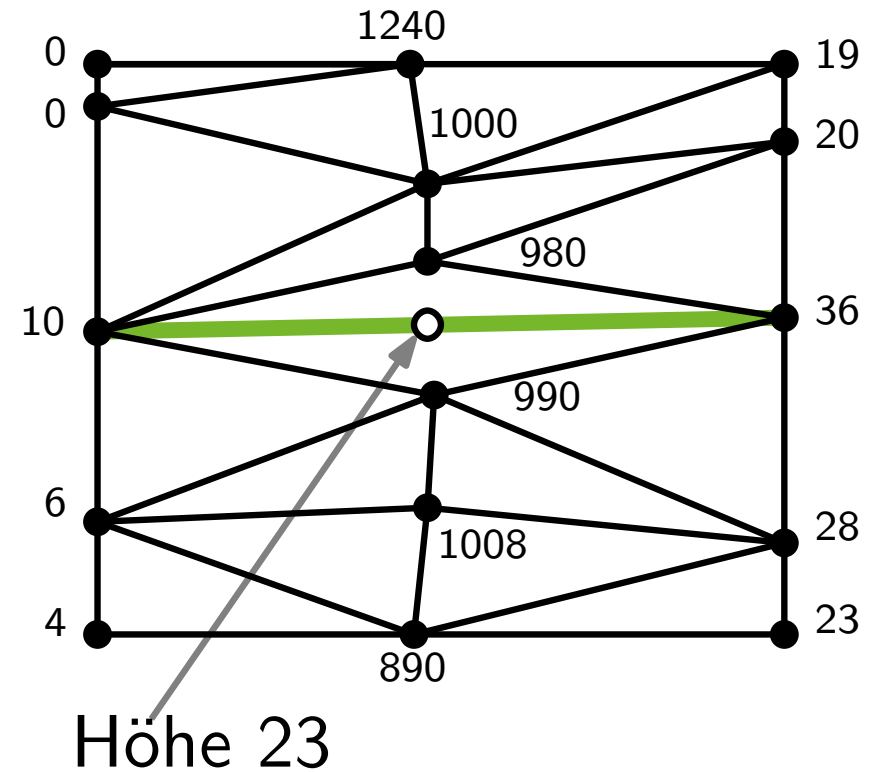
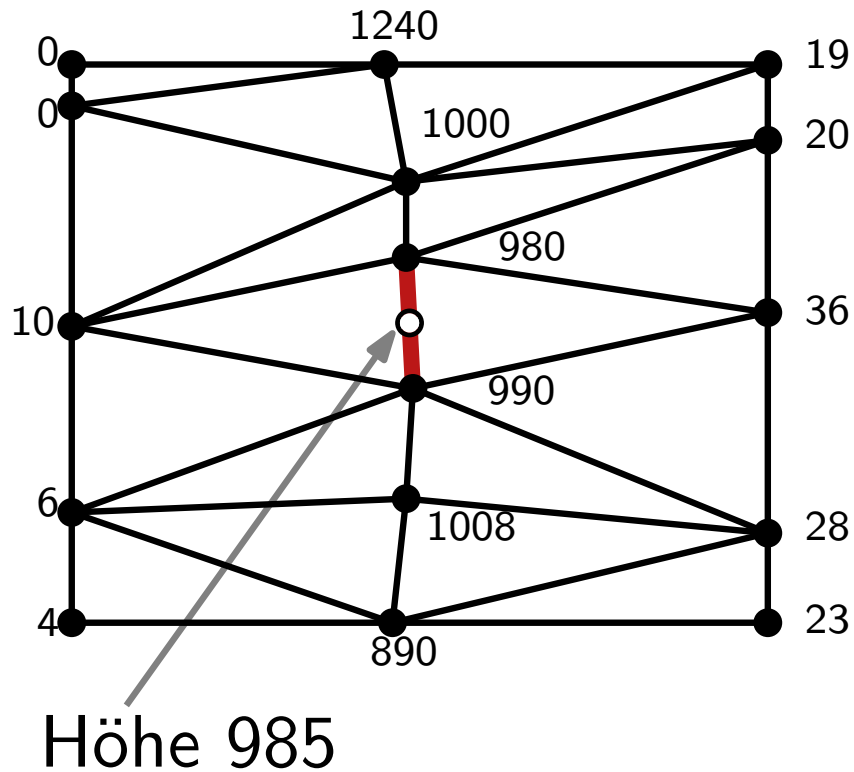
Geradenarrangements und Dualität

LEHRSTUHL FÜR ALGORITHMIK I · INSTITUT FÜR THEORETISCHE INFORMATIK · FAKULTÄT FÜR INFORMATIK

Martin Nöllenburg
14.06.2011



Erinnerung: Höheninterpolation



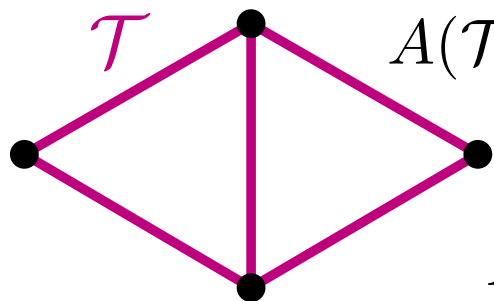
Ziel: Vermeide zu schmale Dreiecke, d.h. maximiere die kleinsten Dreieckswinkel!

Winkeloptimale Triangulierungen

Def.: Sei $P \subset \mathbb{R}^2$ eine Punktemenge, \mathcal{T} eine Triangulierung von P und m die Anzahl der Dreiecke. Dann ist $A(\mathcal{T}) = (\alpha_1, \dots, \alpha_{3m})$ der **Winkelvektor** von \mathcal{T} mit den sortierten Dreieckswinkeln $\alpha_1 \leq \dots \leq \alpha_{3m}$.

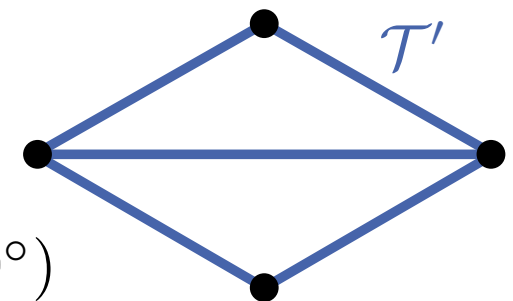
Für zwei Triangulierungen \mathcal{T} und \mathcal{T}' von P definiere die Ordnung $A(\mathcal{T}) > A(\mathcal{T}')$ als lexikographische Ordnung.

\mathcal{T} heißt **winkeloptimal**, falls $A(\mathcal{T}) \geq A(\mathcal{T}')$ für alle Triangulierungen \mathcal{T}' von P .



$$A(\mathcal{T}) = (60^\circ, 60^\circ, 60^\circ, 60^\circ, 60^\circ, 60^\circ)$$

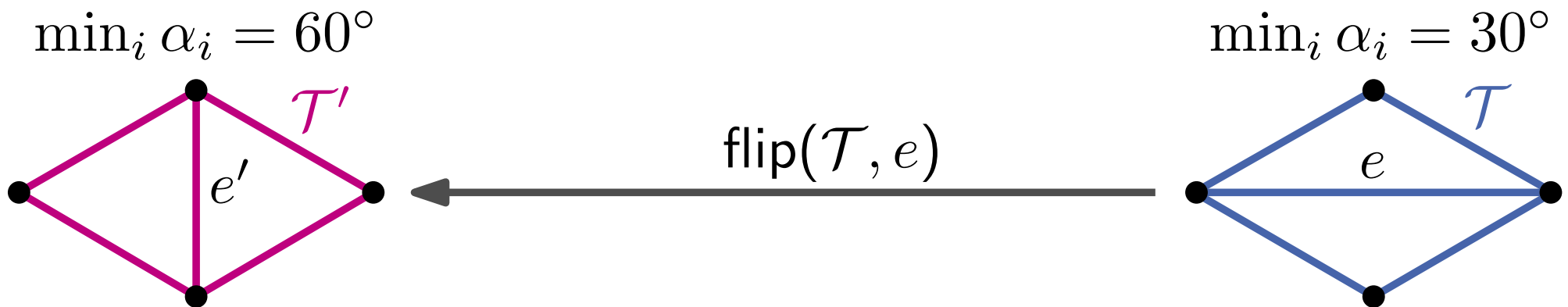
$$A(\mathcal{T}') = (30^\circ, 30^\circ, 30^\circ, 30^\circ, 120^\circ, 120^\circ)$$



Kantenflips

Def.: Sei \mathcal{T} eine Triangulierung. Eine Kante e von \mathcal{T} heißt **unzulässig**, wenn der kleinste Winkel der zu e inzidenten Dreiecke durch einen Kantenflip größer wird.

Beob.: Sei e eine unzulässige Kante von \mathcal{T} und $\mathcal{T}' = \text{flip}(\mathcal{T}, e)$. Dann gilt $A(\mathcal{T}') > A(\mathcal{T})$.



Es gilt: Jede winkeloptimale Triangulierung ist zulässig.

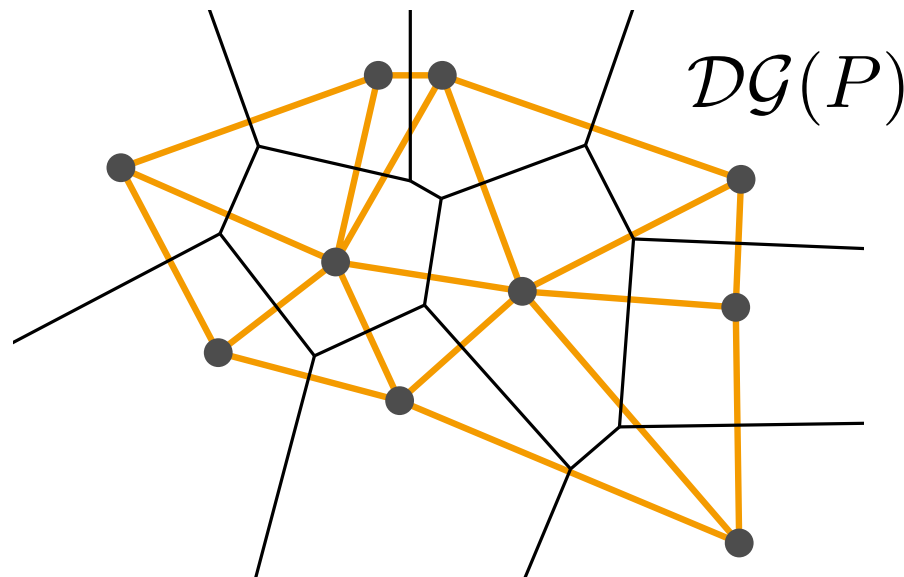
Aber ist jede zulässige Triangulierung auch winkeloptimal?

Die Delaunay-Triangulierung

Sei $\text{Vor}(P)$ das Voronoi-Diagramm einer Punktmenge P .

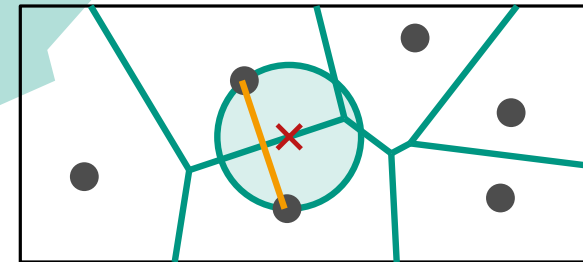
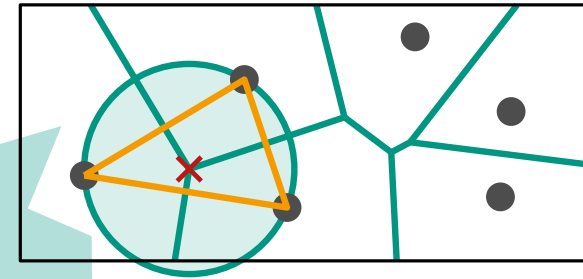
Def.: Der Graph $\mathcal{G} = (P, E)$ mit
 $E = \{pq \mid \mathcal{V}(p) \text{ und } \mathcal{V}(q) \text{ sind benachbart}\}$
heißt **Dualgraph** von $\text{Vor}(P)$.

Def.: Die geradlinige Zeichnung von \mathcal{G} heißt **Delaunay-Graph** $\mathcal{DG}(P)$.



Satz über Voronoi-Diagramme:

- Ein Punkt q ist ein Voronoi-Knoten
 $\Leftrightarrow |C_P(q) \cap P| \geq 3$,
- der Bisektor $b(p_i, p_j)$ definiert eine Voronoi-Kante
 $\Leftrightarrow \exists q \in b(p_i, p_j)$ mit $C_P(q) \cap P = \{p_i, p_j\}$.



Satz 4: Sei P eine Menge von Punkten.

- Punkte p, q, r sind Knoten der gleichen Facette in $\mathcal{DG}(P) \Leftrightarrow$ Kreis durch p, q, r ist leer
- Kante pq ist in $\mathcal{DG}(P)$
 \Leftrightarrow es gibt einen leeren Kreis $C_{p,q}$ durch p und q

Satz 5: Sei P Punktmenge und \mathcal{T} eine Triangulierung von P . \mathcal{T} ist Delaunay-Triangulierung \Leftrightarrow Umkreis jedes Dreiecks ist im Inneren leer.

Satz 6: Sei P Punktmenge und \mathcal{T} eine Triangulierung von P .
 \mathcal{T} ist zulässig $\Leftrightarrow \mathcal{T}$ ist Delaunay-Triangulierung.

Beweisskizze:

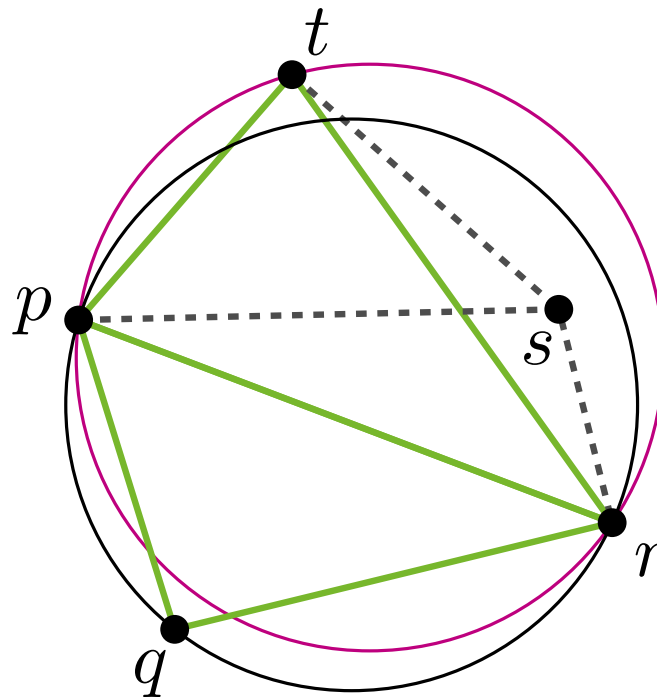
„ \Leftarrow “ klar; nutze

Lemma 1: Seien Δ_{prq} und Δ_{pqs} zwei Dreiecke in \mathcal{T} und C der Umkreis von Δ_{prq} . Dann ist \overline{pq} unzulässig genau dann wenn $s \in \text{int}(C)$.

Satz 6: Sei P Punktmenge und \mathcal{T} eine Triangulierung von P .
 \mathcal{T} ist zulässig $\Leftrightarrow \mathcal{T}$ ist Delaunay-Triangulierung.

Beweisskizze:

„ \Rightarrow “



Satz 6: Sei P Punktmenge und \mathcal{T} eine Triangulierung von P .
 \mathcal{T} ist zulässig $\Leftrightarrow \mathcal{T}$ ist Delaunay-Triangulierung.

Beob.: Ist P in allgemeiner Lage ist $DG(P)$ eindeutig
 \Rightarrow zulässige Triangulierung ist eindeutig
wissen: \mathcal{T} winkeloptymal $\Rightarrow \mathcal{T}$ zulässig
 $\Rightarrow DG(P)$ winkeloptymal!

Ist P *nicht* in allgemeiner Lage, so ist zumindest für *jede* Triangulierung einer „großen“ Facette von $DG(P)$ der *minimale* Winkel gleich (Übung!).

Satz 7: Für n beliebige Punkte kann in $O(n \log n)$ Zeit eine Delaunay-Triangulierung berechnet werden.
(Voronoi-Diag. + Triangulierung „großer“ Facetten)

Korollar: Für n Punkte in allgemeiner Lage kann in $O(n \log n)$ Zeit eine winkeloptimale Triangulierung berechnet werden.

Sind die Punkte nicht in allgemeiner Lage, lässt sich zumindest eine Triangulierung mit maximalem kleinsten Winkel in $O(n \log n)$ Zeit berechnen.

Ausblick: Auch im allgemeinen Fall kann die winkeloptimale Triangulierung in $O(n \log n)$ Zeit berechnet werden.

[Mount, Saalfeld '88]

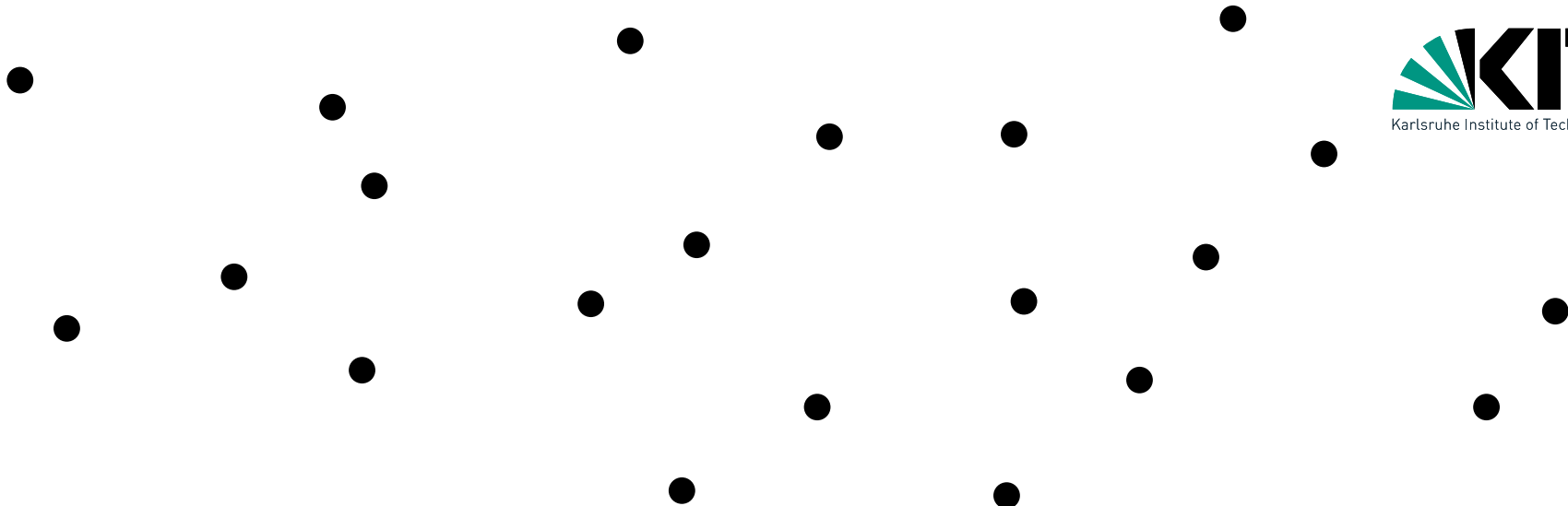
Gibt es alternative Ansätze für Triangulierungen zur Höheninterpolation?

Statt der *datenunabhängigen* Delaunay-Triangulierung gibt es auch Ansätze für *datenabhängige* Triangulierungen, die jedoch von $\mathcal{DG}(P)$ ausgehen und dann Kantenflips durchführen. Rippa (1990) zeigte dass $\mathcal{DG}(P)$ die *roughness* unabhängig von den Höheninformationen minimiert.

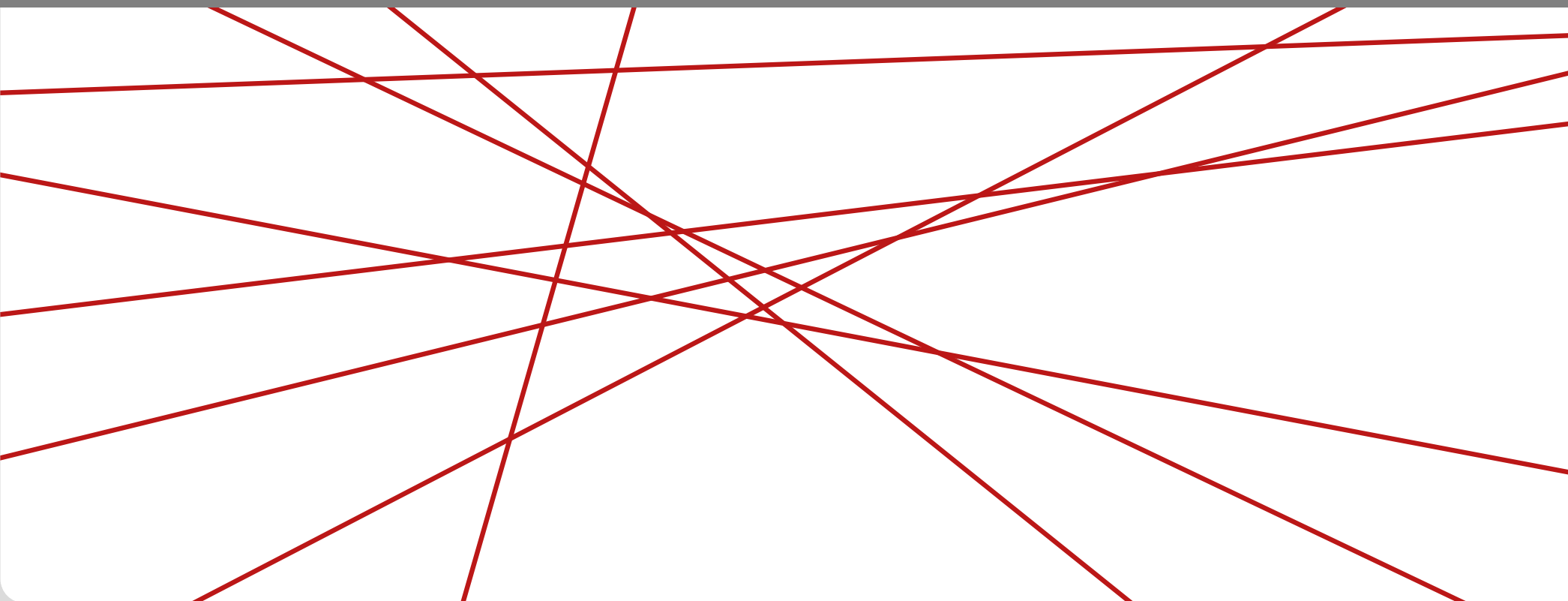
Hat $\mathcal{DG}(P)$ weitere interessante Eigenschaften?

Ja, der Delaunay-Graph enthält die Kanten anderer interessanter Graphen auf P (s. Übungsblatt). Es gilt z.B.

$$\text{EMST}(P) \subseteq \text{Gabriel-Graph}(P) \subseteq \mathcal{DG}(P)$$

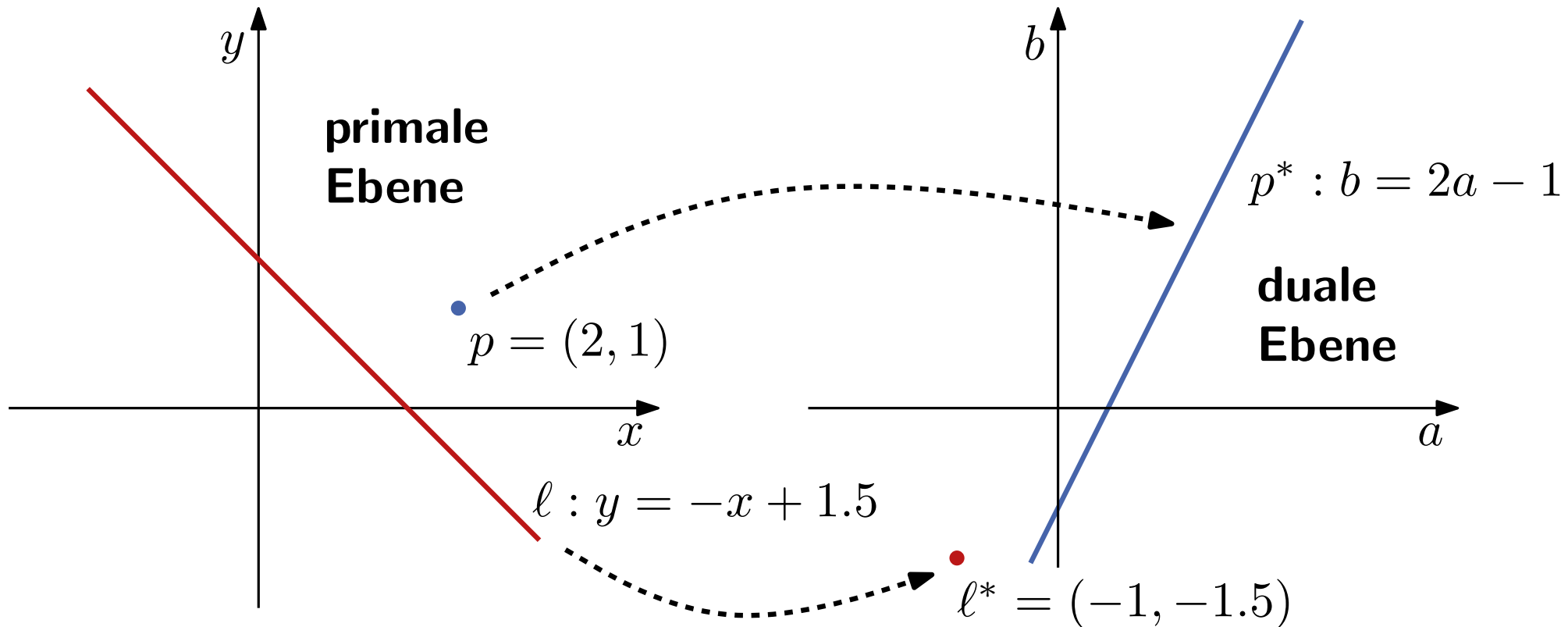


Dualität von Punkten und Geraden



Dualitätsabbildung

Beob.: Bisher haben wir Dualität für planare Graphen gesehen. Auch Punkte und Geraden können **dual** zueinander sein.



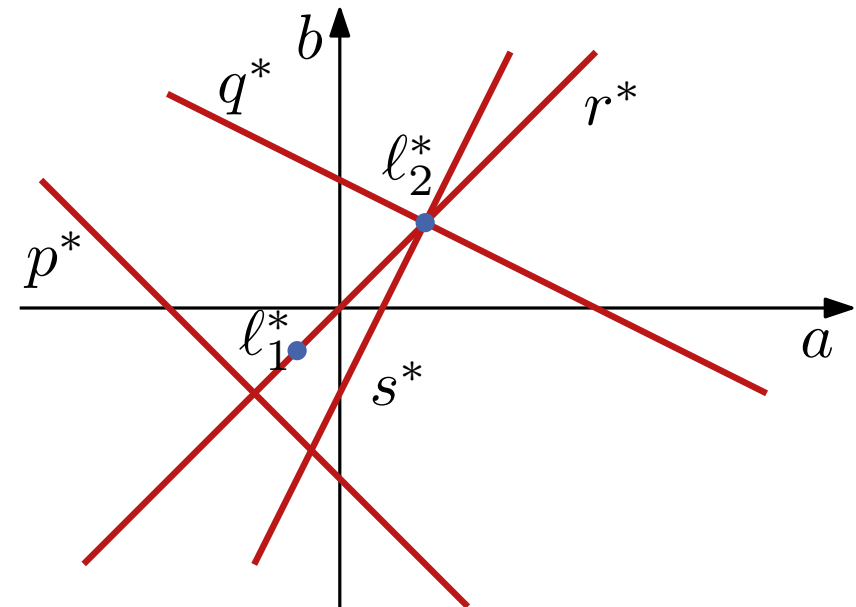
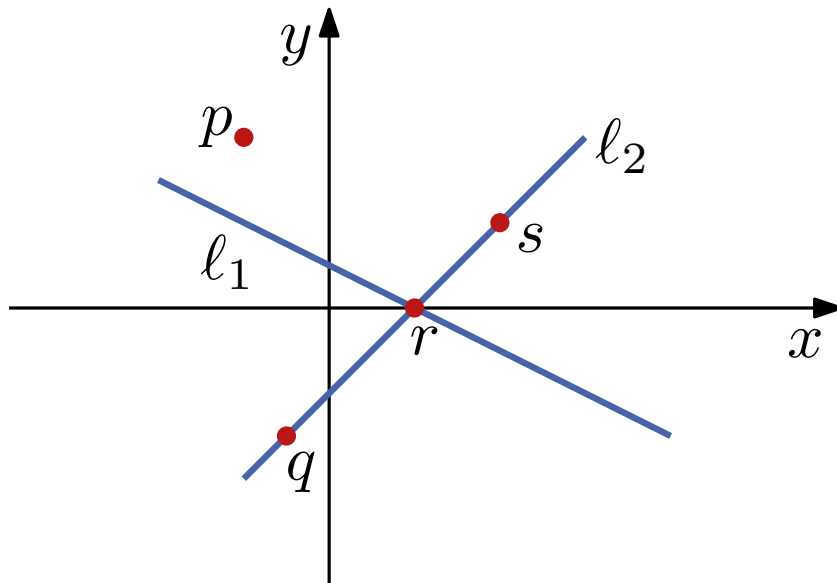
Def.: Die Dualitätsabbildung $(\cdot)^*$ ist definiert durch

$$p = (p_x, p_y) \quad \mapsto \quad p^* : b = p_x a - p_y$$

$$\ell : y = m x + c \quad \mapsto \quad \ell^* = (m, -c)$$

Lemma 1: Es gelten die folgenden Eigenschaften

- $(p^*)^* = p$ und $(l^*)^* = l$
- p liegt unter/auf/über $l \Leftrightarrow p^*$ läuft über/auf/unter l^*
- l_1 und l_2 schneiden sich in p
 $\Leftrightarrow p^*$ geht durch l_1^* und l_2^*
- p_1, p_2, p_3 kollinear
 $\Leftrightarrow p_1^*, p_2^*, p_3^*$ schneiden sich in gemeinsamem Punkt

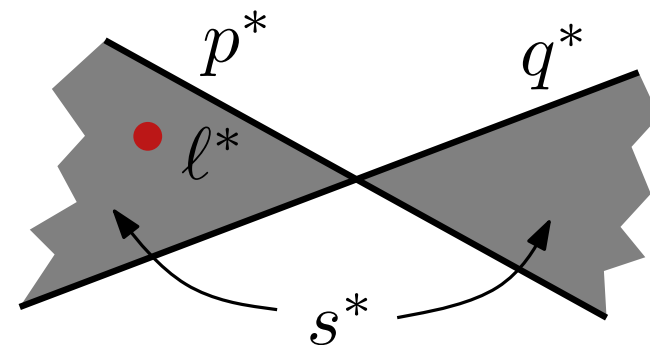
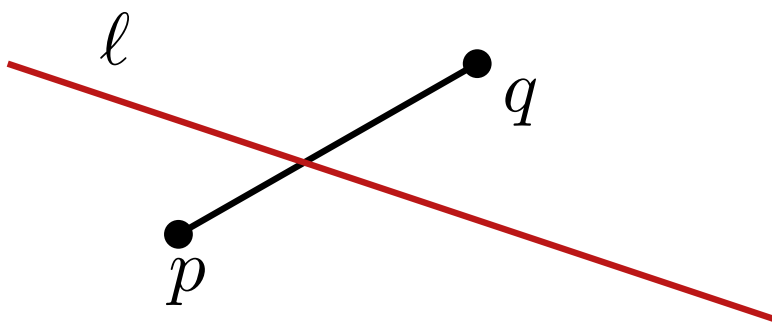


Lemma 1: Es gelten die folgenden Eigenschaften

- $(p^*)^* = p$ und $(l^*)^* = l$
- p liegt unter/auf/über $l \Leftrightarrow p^*$ läuft über/auf/unter l^*
- l_1 und l_2 schneiden sich in p
 $\Leftrightarrow p^*$ geht durch l_1^* und l_2^*
- p_1, p_2, p_3 kollinear
 $\Leftrightarrow p_1^*, p_2^*, p_3^*$ schneiden sich in gemeinsamem Punkt

Wie sieht das duale Objekt zu einer Strecke $s = \overline{pq}$ aus?

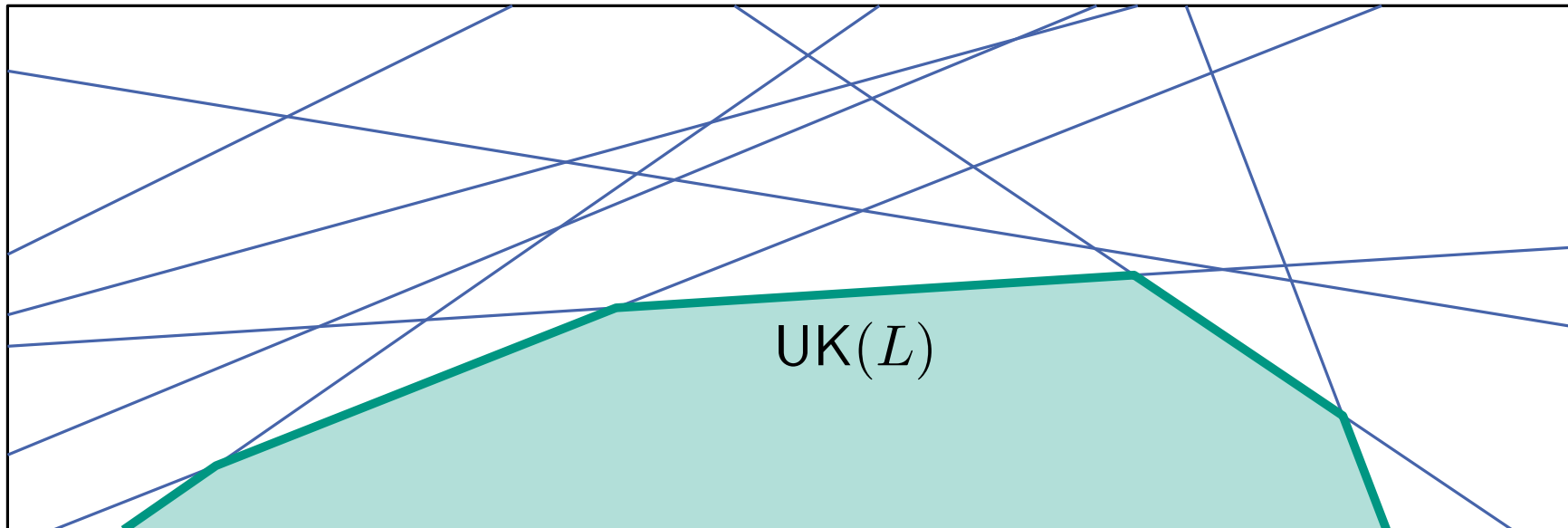
Welche duale Beziehung gilt für eine Gerade l , die s schneidet?



Dualität macht geometrische Probleme weder leichter noch schwerer; sie bietet einen anderen (hilfreichen) Blickwinkel!

Wir werden zwei Beispiele sehen:

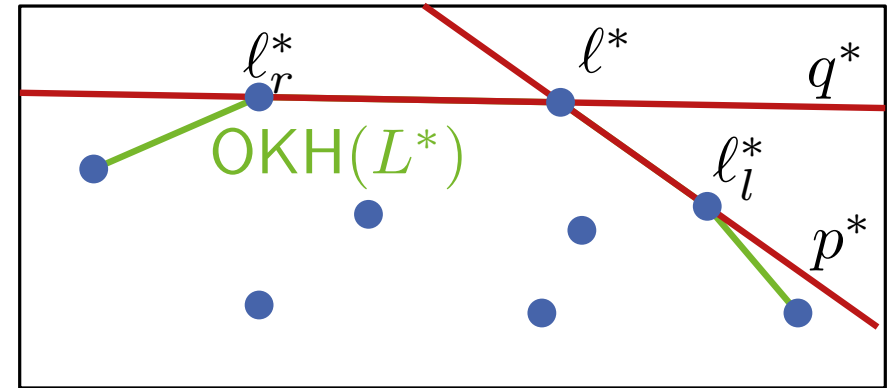
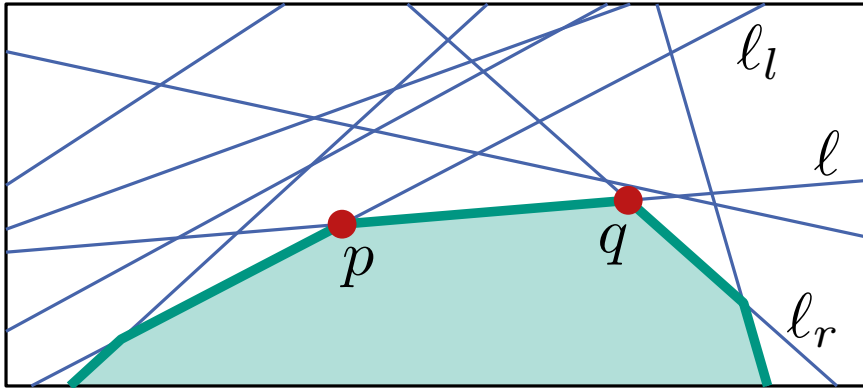
- untere/obere Konturen von Geradenarrangements
- kleinstes Dreieck in einer Punktmenge



Def.: Für eine Menge L von Geraden ist die untere Kontur $UK(L)$ von L die Menge aller Punkte aus $\cup_{\ell \in L} \ell$, die unterhalb aller Geraden aus L liegen.

Möglichkeiten zur Berechnung der unteren Kontur:

- Algorithmus `IntersectHalbplanes` aus 4. VL
- Betrachte das duale Problem für $L^* = \{\ell^* \mid \ell \in L\}$



Wann erscheint ℓ als Strecke \overline{pq} auf $UK(L)$?

- p und q liegen unterhalb aller Geraden in L
- p^* und q^* liegen oberhalb aller Punkte aus L^*
 \Rightarrow liegen benachbart auf oberer konvexer Hülle $OKH(L^*)$
- Schnittpunkt von p^* und q^* ist ℓ^* , Knoten von $OKH(L^*)$

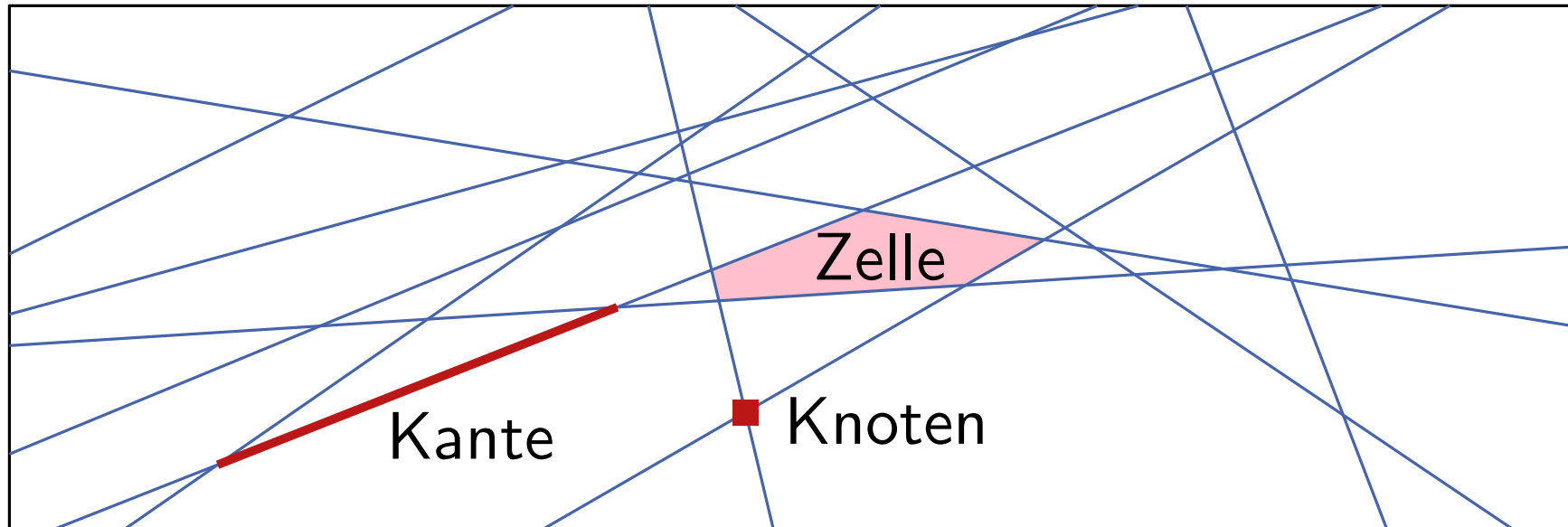
Lemma 2: Die Geraden auf $UK(L)$ von links nach rechts entsprechen den Knoten auf $OKH(L^*)$ von rechts nach links.

Berechnung der Kontur

- Algorithmus zur Berechnung der oberen konvexen Hülle mit Laufzeit $O(n \log n)$ (s. erste VL zu konvexer Hülle)
- Primale Geraden zu Punkten auf $OKH(L^*)$ in umgekehrter Reihenfolge bilden $UK(L)$
- Analog: obere Kontur von $L \hat{=} \text{untere konvexe Hülle von } L^*$

Wie lässt sich das nutzen um den Schnitt von n Halbebenen zu berechnen?

- untere Kontur der von oben begrenzenden Geraden
- obere Kontur der von unten begrenzenden Geraden
- Schnitt der beiden konvexen Regionen (s. 4. VL)
- insgesamt $O(n \log n)$ Laufzeit



Def.: Eine Menge L von Geraden definiert eine Unterteilung $\mathcal{A}(L)$ der Ebene (das **Geradenarrangement**) in Knoten, Kanten und Zellen (tlws. unbeschränkt).
 $\mathcal{A}(L)$ heißt **einfach**, wenn keine drei Geraden durch einen Punkt gehen und keine zwei Geraden parallel sind.

Komplexität von $\mathcal{A}(L)$

Die kombinatorische Komplexität von $\mathcal{A}(L)$ ist die Zahl der Knoten, Kanten und Zellen. Es gilt:

Satz 1: Sei $\mathcal{A}(L)$ ein einfaches Arrangement von n Geraden. Dann hat $\mathcal{A}(L)$ $\binom{n}{2}$ Knoten, n^2 Kanten und $\binom{n}{2} + n + 1$ Zellen.

Datenstruktur für $\mathcal{A}(L)$:

- füge bounding box aller Knoten hinzu (s. Übung)
→ planar eingebetteter Graph G
- doppelt-verkettete Kantenliste für G

Konstruktion von $\mathcal{A}(L)$

Input: Geraden $L = \{\ell_1, \dots, \ell_n\}$

Output: DCEL \mathcal{D} für $\mathcal{A}(L)$

initialisiere \mathcal{D} für bounding box B der Knoten von $\mathcal{A}(L)$

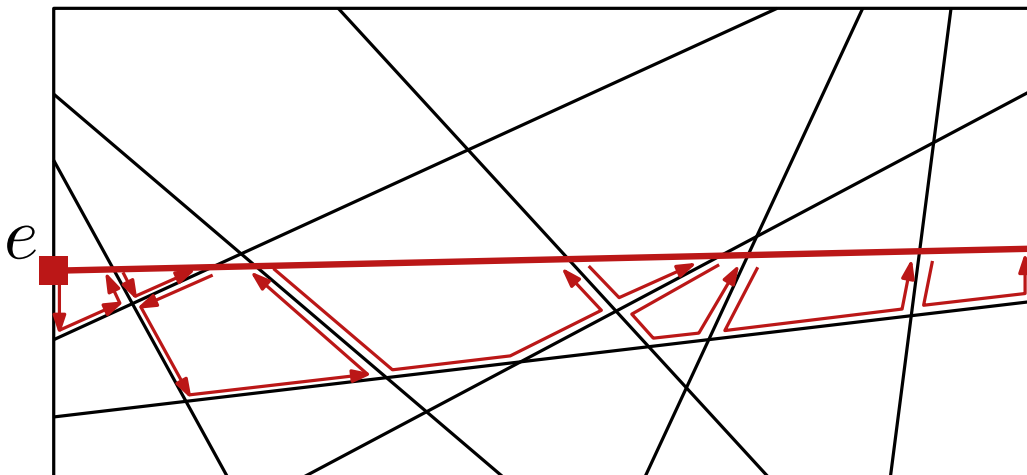
for $i \leftarrow 1$ **to** n **do**

finde linken Schnittpunkt von ℓ_i mit Kante e von B

$f \leftarrow$ innere Zelle inzident zu e

while $f \neq$ äußere Zelle **do**

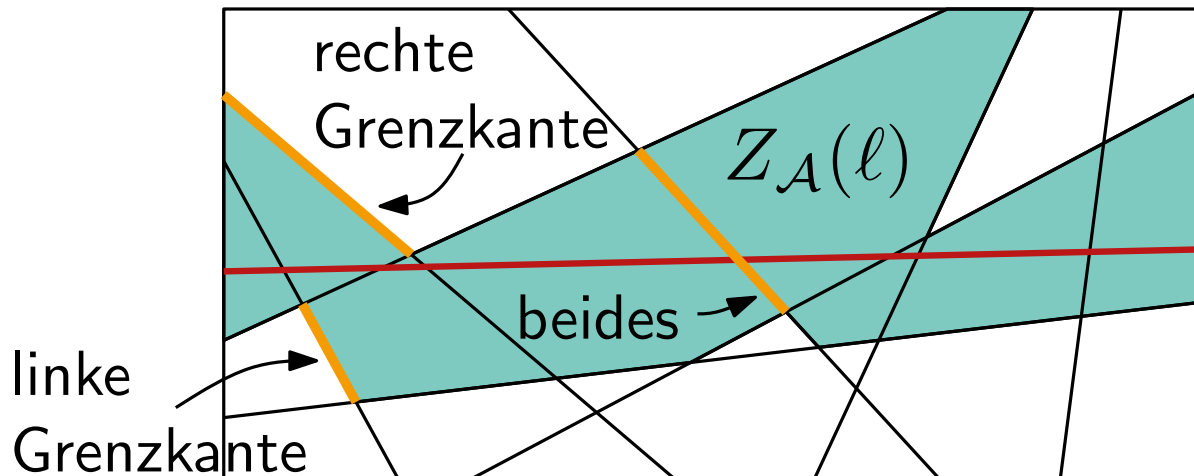
└ zerteile f , update \mathcal{D} und setze f auf nächste Zelle



Laufzeit?

- bounding box: $O(n^2)$
- Startpunkt ℓ_i : $O(i)$
- **while**-Schleife:
 $O(|\text{roter Pfad}|)$

Def.: Für ein Arrangement $\mathcal{A}(L)$ und eine Gerade $\ell \notin L$ ist die **Zone** $Z_{\mathcal{A}}(\ell)$ die Menge aller Zellen von $\mathcal{A}(L)$, deren Abschluss ℓ schneidet.



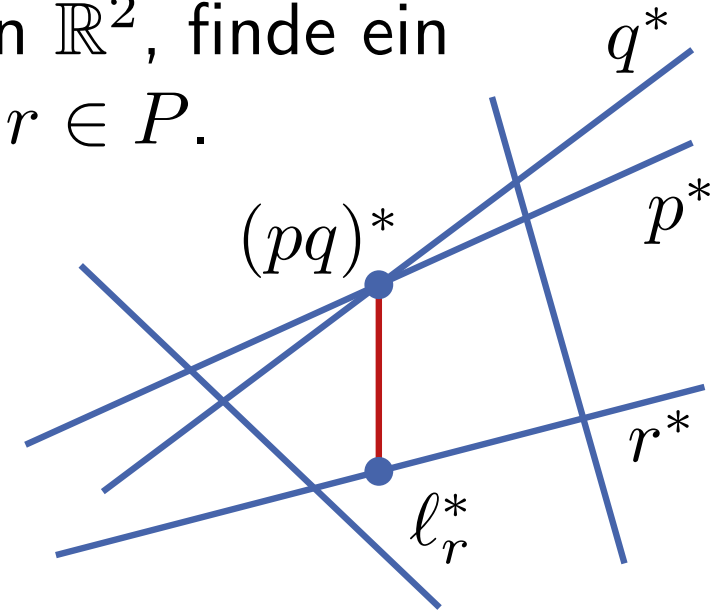
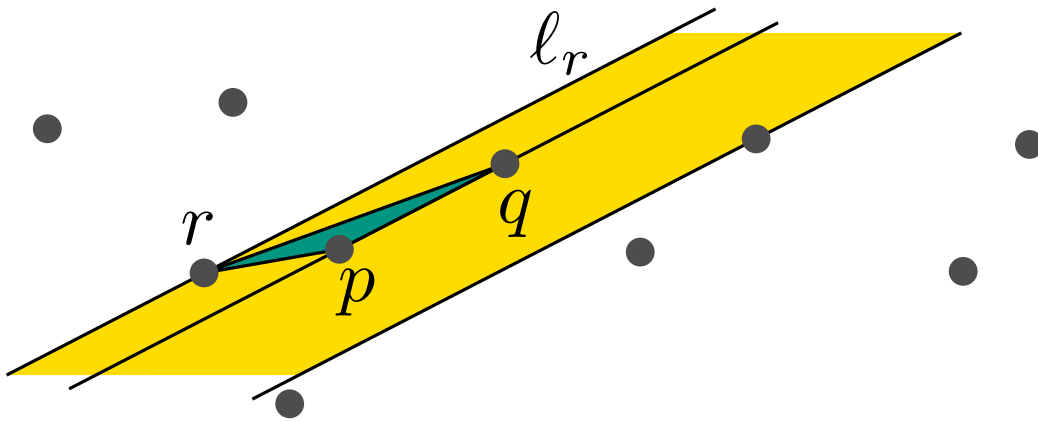
Wie viele Zellen enthält $Z_{\mathcal{A}}(\ell)$?
Wie viele Kanten enthält $Z_{\mathcal{A}}(\ell)$?

Satz 2: Für ein einfaches Arrangement $\mathcal{A}(L)$ von n Geraden in der Ebene und eine Gerade $\ell \notin L$ besteht $Z_{\mathcal{A}}(\ell)$ aus höchstens $6n$ Kanten.

Satz 3: Das Arrangement $\mathcal{A}(L)$ einer Menge von n Geraden kann in $O(n^2)$ Zeit und Platz konstruiert werden.

Kleinstes Dreieck

Gegeben eine Menge P von n Punkten in \mathbb{R}^2 , finde ein flächenminimales Dreieck Δpqr mit $p, q, r \in P$.

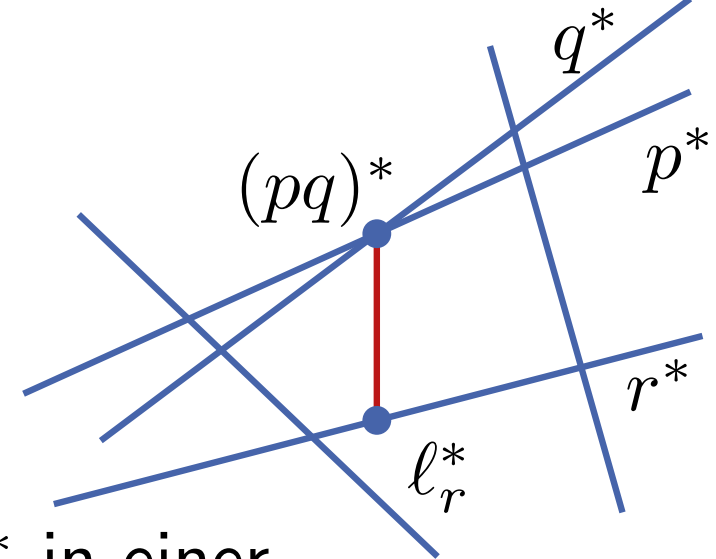
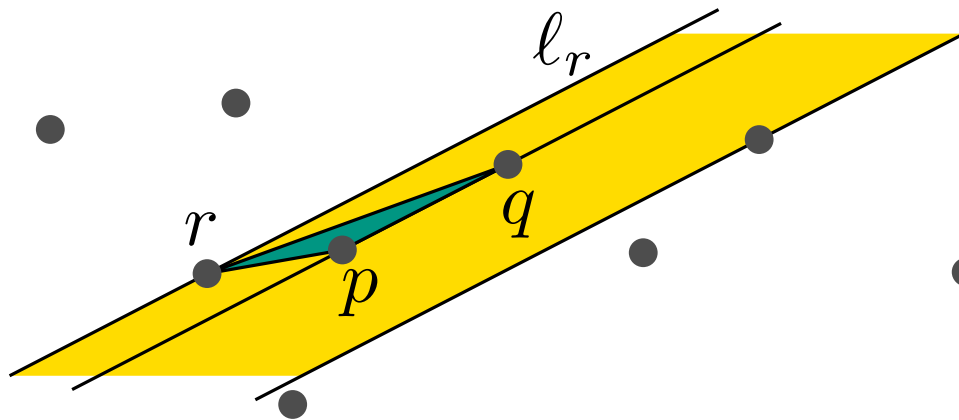


Seien $p, q \in P$. Der Punkt $r \in P \setminus \{p, q\}$, der Δpqr minimiert, liegt auf dem Rand des größten leeren Korridors entlang pq .

Zwischen pq und der Geraden l_r durch r parallel zu pq liegt kein weiterer Punkt aus P .

- Im Dualen:**
- l_r^* liegt auf r^*
 - l_r^* und $(pq)^*$ haben gleiche x -Koordinate
 - keine Gerade $p^* \in P^*$ schneidet $\overline{l_r^* (pq)^*}$

Berechnung im Dualen



- l_r^* liegt vertikal über oder unter $(pq)^*$ in einer gemeinsamen Zelle von $\mathcal{A}(P^*) \Rightarrow$ nur zwei Kandidaten
- Berechne in $O(n^2)$ Zeit das Arrangement $\mathcal{A}(P^*)$
- Berechne in jeder Zelle die vertikalen Nachbarn der Knoten
→ Zeit linear in Zellenkomplexität **wie?**
- für alle $O(n^2)$ Kandidaten-Tripel $(pq)^* r^*$ berechne in $O(1)$ Zeit Fläche Δpqr
- findet Minimum in insgesamt $O(n^2)$ Zeit

Dualität ist ein sehr nützliches Werkzeug in der algorithmischen Geometrie!

Kann man die Dualität auch in höheren Dimensionen nutzen?

Ja, auch zwischen d -dimensionalen Punkten und Hyperebenen gibt es eine entsprechende inzidenz- und ordnungserhaltende Dualitätsabbildung.

Wie steht es um höherdimensionale Arrangements?

Das Arrangement von n Hyperebenen im \mathbb{R}^d hat Komplexität $\Theta(n^d)$. Eine Verallgemeinerung des Zonensatzes führt zu einem $O(n^d)$ -Zeit Algorithmus.